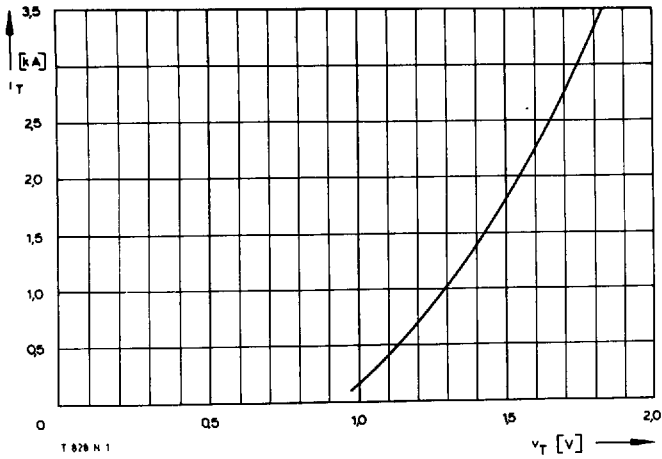


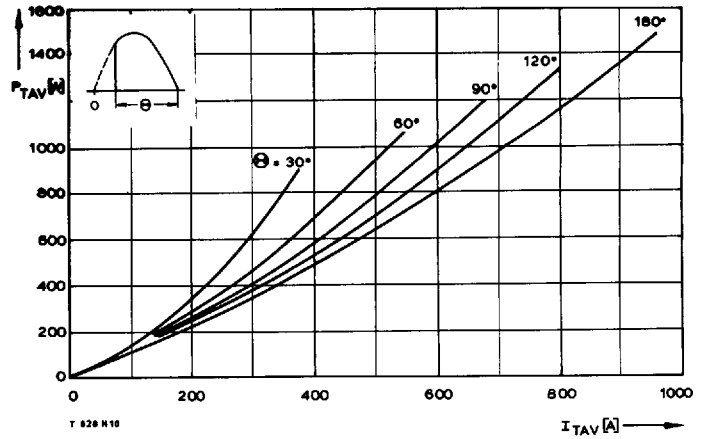
T 828 N

T-25-20

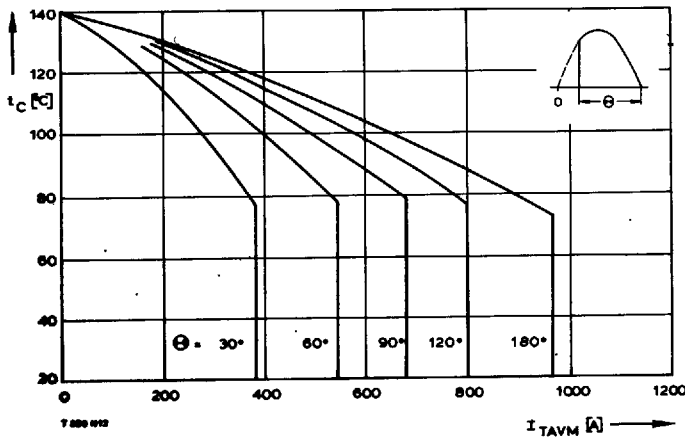
Typenreihe/Type range		T 828 N	200	400	600	700
Elektrische Eigenschaften		Electrical properties				
<u>Höchstzulässige Werte</u>		<u>Maximum permissible values</u>				
V_{DRM}, V_{RRM}	Periodische Vorwärts- und Rückwärts-Spitzensperrspannung				200...700	V
I_{TRMSM}	Effektiver Durchlaßstrom				1500	A
I_{TAVM}	Dauergrenzstrom				828	A
					955	A
I_{TRM}	Periodischer Spitzenstrom				9	kA
I_{TSM}	Stoßstrom-Grenzwert				13,5	kA
$\int i^2 dt$	Grenzlastintegral				12	kA
					910000	A ² s
$(di/dt)_{cr}$	Kritische Stromsteilheit				720000	A ² s
					1000	A/μs
$(dv/dt)_{cr}$	Kritische Spannungssteilheit				300	A/μs
					400	V/μs
					1000	V/μs
<u>Charakteristische Werte</u>		<u>Characteristic values</u>				
V_T	Obere Durchlaßspannung				1,65	V
$V_{(TO)}$	Schleusenspannung				1	V
r_T	Ersatzwiderstand				0,23	mΩ
V_{GT}	Obere Zündspannung				2	V
I_{GT}	Oberer Zündstrom				200	mA
	Unterer Zündstrom				10	mA
I_H	Oberer Haltestrom				200	mA
I_L	Oberer Einraststrom				1000	mA
i_D, \bar{I}_R	Oberer Vorwärts- und Rückwärts-Sperrstrom				50	mA
t_{gd}	Oberer Zündverzug				1,4	μs
t_q	Typische Freiwerdezeit				150	μs
C_{null}	Typische Nullkapazität				7,5	nF
Thermische Eigenschaften		Thermal properties				
R_{thJC}	Innerer Wärmewiderstand für beidseitige Kühlung				≤ 0,045	°C/W
					≤ 0,041	°C/W
$R_{thJ(A)}$	für anodenseitige Kühlung				≤ 0,074	°C/W
					≤ 0,07	°C/W
$R_{thJ(K)}$	für kathodenseitige Kühlung				≤ 0,104	°C/W
					≤ 0,1	°C/W
R_{thCK}	Wärmewiderstand für einen Übergang zwischen Gehäuse und Kühlkörper				0,02	°C/W
$t_{vj\ max}$	Höchstzul. Sperrschichttemperatur				140	°C
$t_{vj\ op}$	Betriebstemperatur				-40°C ... +140°C	
t_{stg}	Lagertemperatur				-40°C ... +140°C	
Mechanische Eigenschaften		Mechanical properties				
G	Gewicht				100	g
F	Anpreßkraft				5,5 ... 8	kN
	Maßbild				DIN 41814-152 A 4	Seite/page 240
	Kriechstrecke				17	mm
	Feuchteklasse				DIN 40040	C
	Schüttelfestigkeit				f = 50 Hz	5x9,81 m/s ²



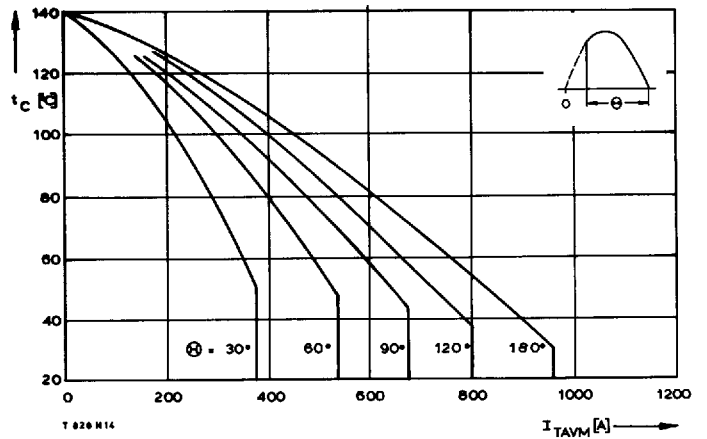
Bild/Fig. 1
Grenzdurchlaßkennlinie bei $t_{vj \max}$
Max. on-state characteristic at $t_{vj \max}$



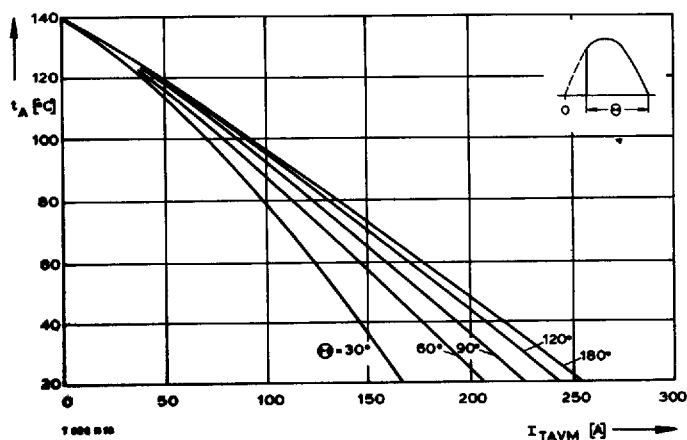
Bild/Fig. 2
Durchlaßverlustleistung P_{TAV} /On-state power loss P_{TAV}



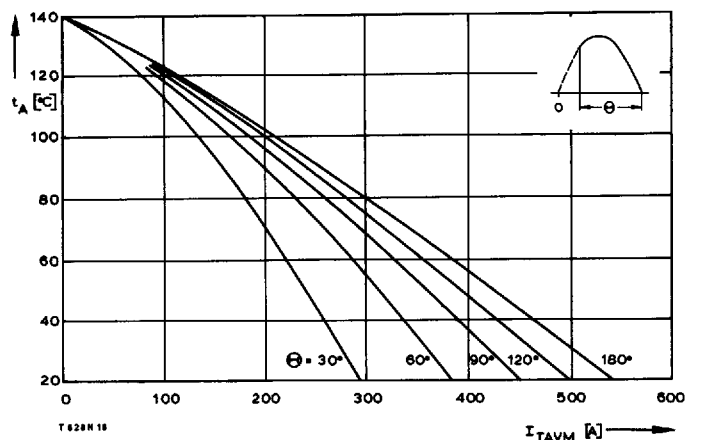
Bild/Fig. 3
Höchstzulässige Gehäusetemperatur t_c bei beidseitiger Kühlung
Maximum allowable case temperature t_c at two-sided cooling



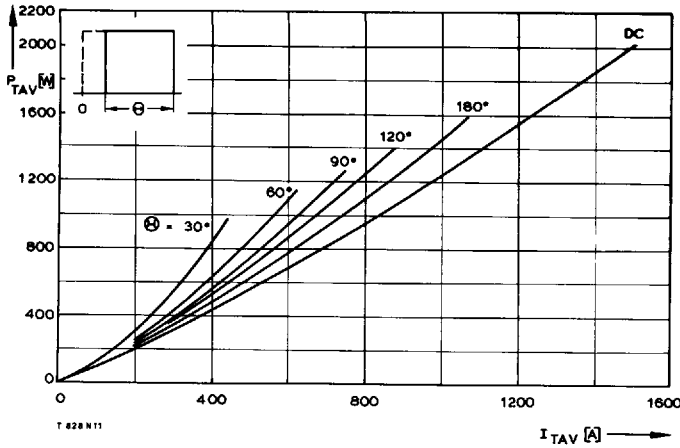
Bild/Fig. 4
Höchstzulässige Gehäusetemperatur t_c bei anodenseitiger Kühlung
Maximum allowable case temperature t_c at anode sided cooling



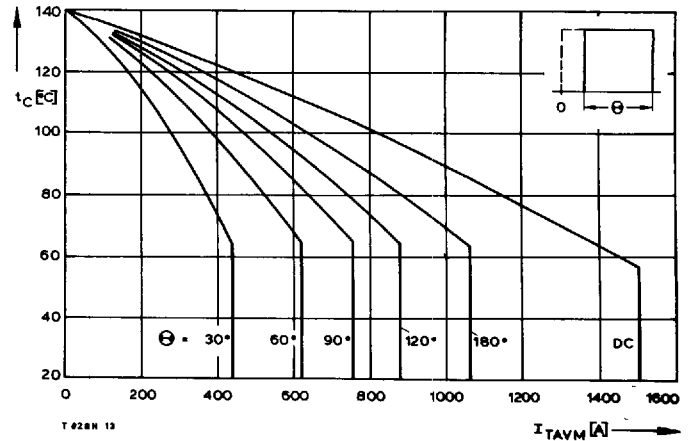
Bild/Fig. 5
Höchstzulässige Kühlmitteltemperatur t_A bei Betrieb auf Kühlkörper K 0,36 S, Luftselbstkühlung.
Maximum allowable cooling medium temperature t_A , heatsink type K 0.36 S, natural cooling.



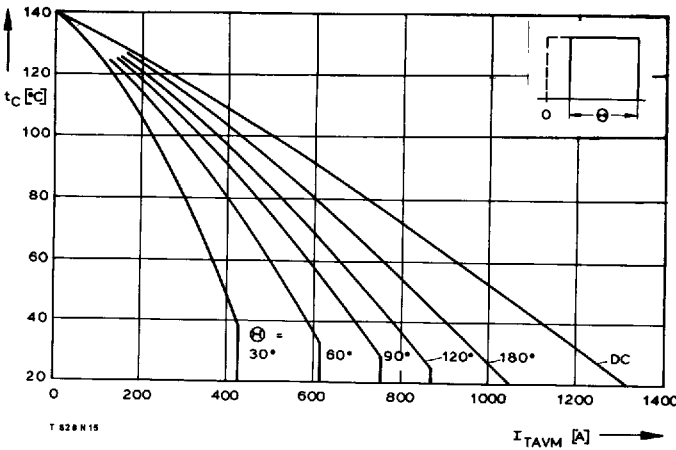
Bild/Fig. 6
Höchstzulässige Kühlmitteltemperatur t_A bei verstärkter Luftkühlung, $V_L = 50$ l/s, auf Kühlkörper K 0,12 F.
Maximum allowable cooling medium temperature t_A , at forced cooling, $V_L = 50$ l/s, on heatsink type K 0.12 F.



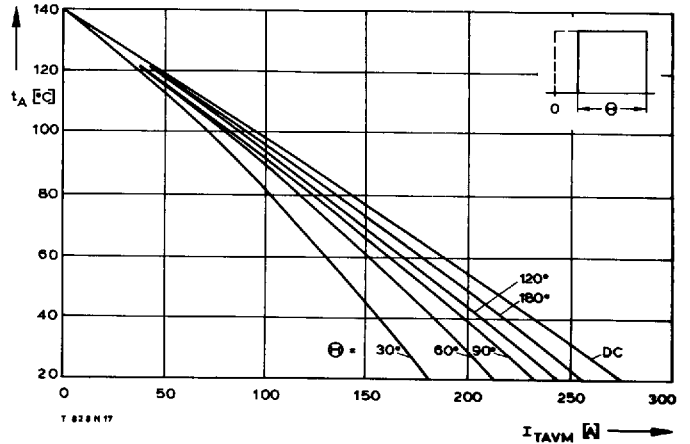
Bild/Fig. 7
Durchlaßverlustleistung P_{TAV} /On-state power loss P_{TAV}



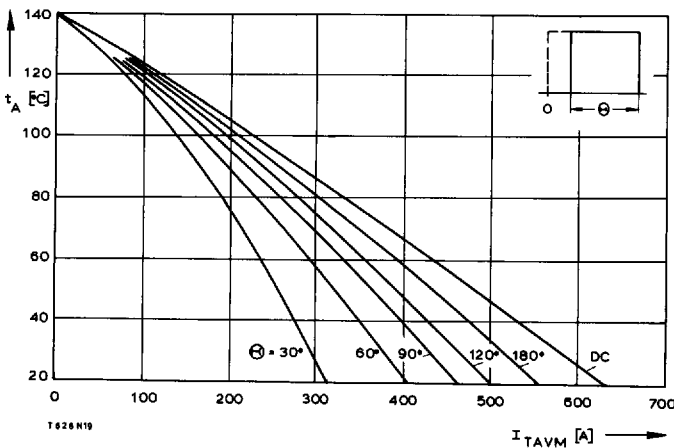
Bild/Fig. 8
Höchstzulässige Gehäusestemperatur t_c bei beidseitiger Kühlung
Maximum allowable case temperature t_c at two-sided cooling



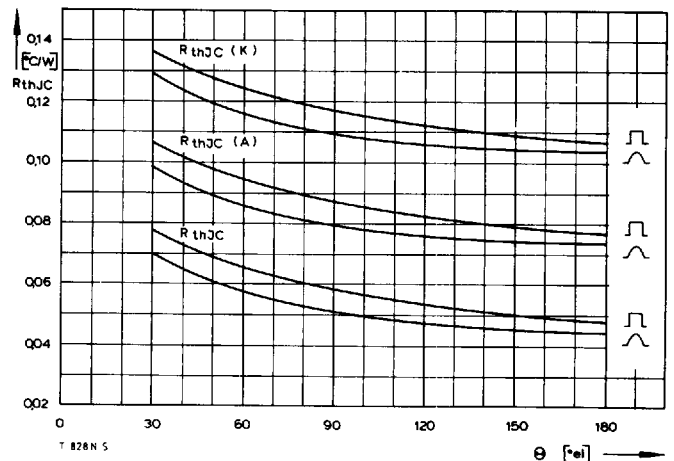
Bild/Fig. 9
Höchstzulässige Gehäusestemperatur t_c bei anodenseitiger Kühlung
Maximum allowable case temperature t_c at anode-sided cooling



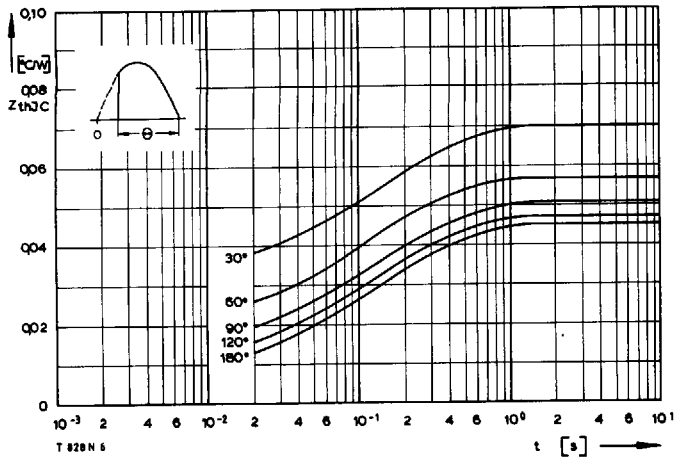
Bild/Fig. 10
Höchstzulässige Kühlmitteltemperatur t_A bei Betrieb auf Kühlkörper K 0,36 S, Luftselbstkühlung.
Maximum allowable cooling medium temperature t_A , heatsink type K 0.36 S, natural cooling.



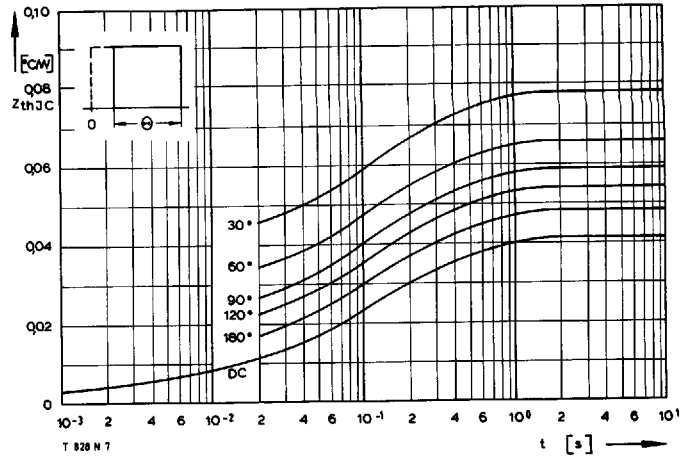
Bild/Fig. 11
Höchstzulässige Kühlmitteltemperatur t_A bei verstärkter Luftkühlung, $V_L = 50$ l/s, auf Kühlkörper K 0,12 F.
Maximum allowable cooling medium temperature t_A , at forced cooling, $V_L = 50$ l/s, on heatsink type K 0.12 F.



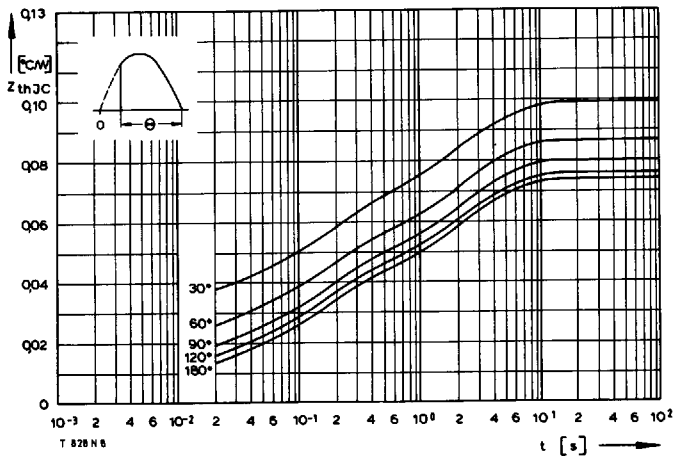
Bild/Fig. 12
Innerer Wärmewiderstand als Funktion des Stromflußwinkels
Thermal resistance, junction to case, versus current conduction angle
 R_{thJC} bei beidseitiger Kühlung/at two-sided cooling
 $R_{thJC(A)}$ bei anodenseitiger Kühlung/at anode-sided cooling
 $R_{thJC(K)}$ bei kathodenseitiger Kühlung/at cathode-sided cooling



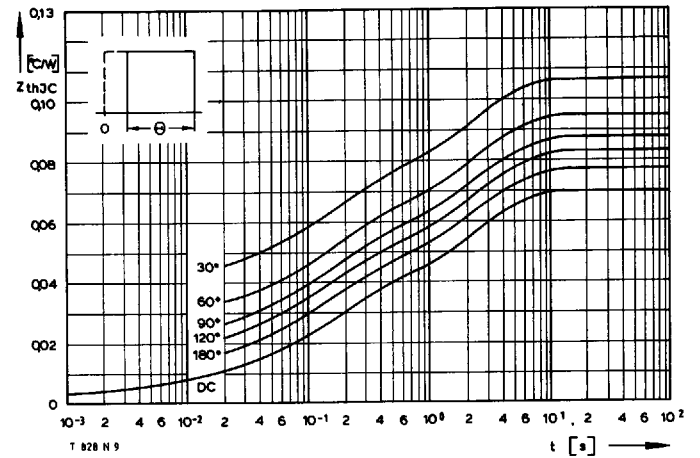
Bild/Fig. 13
Transienter innerer Wärmewiderstand Z_{thJC}
Transient thermal impedance, junction to case, Z_{thJC}
beidseitige Kühlung/two-sided cooling



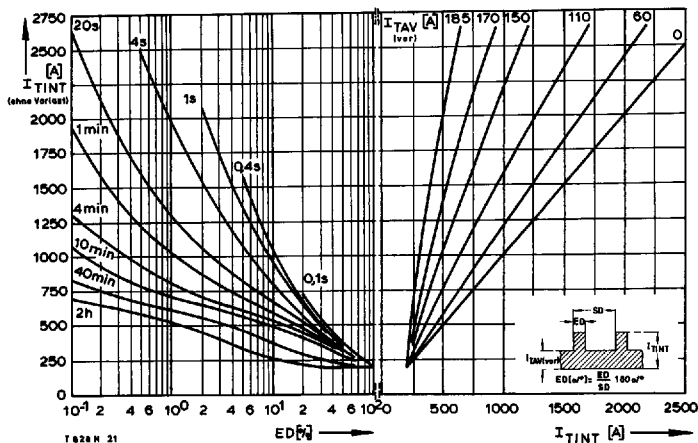
Bild/Fig. 14
Transienter innerer Wärmewiderstand Z_{thJC}
Transient thermal impedance, junction to case, Z_{thJC}
beidseitige Kühlung/two-sided cooling



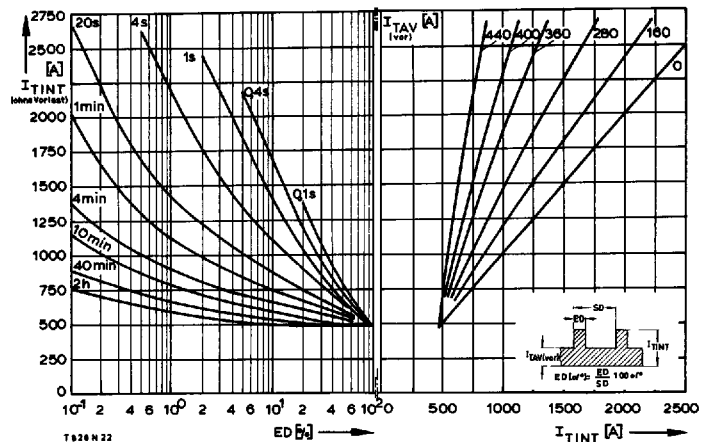
Bild/Fig. 15
Transienter innerer Wärmewiderstand Z_{thJC}
Transient thermal impedance, junction to case, Z_{thJC}
anodenseitige Kühlung/anode sided cooling



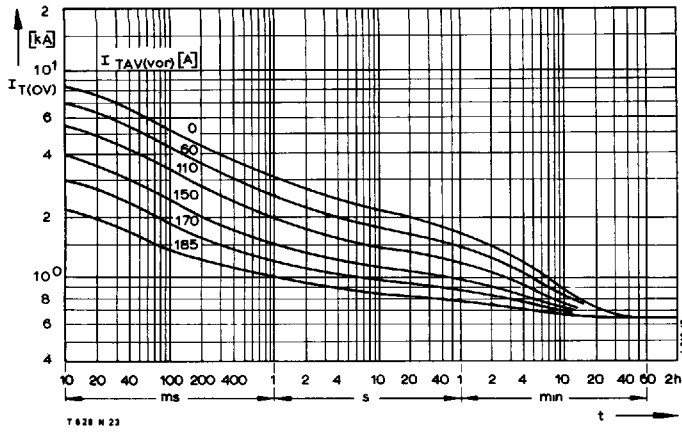
Bild/Fig. 16
Transienter innerer Wärmewiderstand Z_{thJC}
Transient thermal impedance, junction to case, Z_{thJC}
anodenseitige Kühlung/anode sided cooling



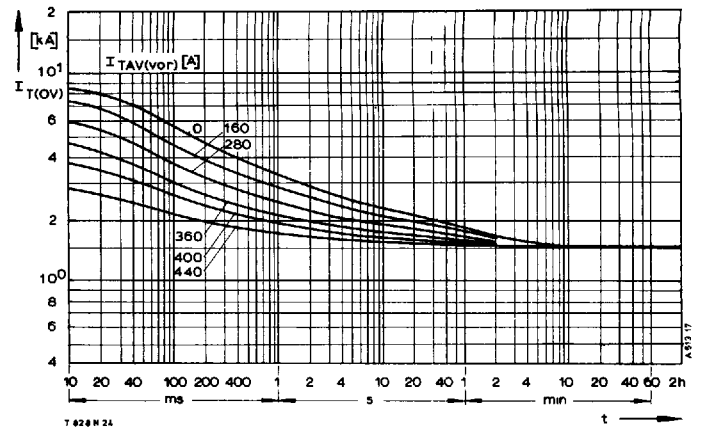
Bild/Fig. 17
Höchstzulässiger Durchlaßstrom I_{TINT} bei Aussetzbetrieb und beidseitiger Luftselbstkühlung, $t_A = 45^\circ\text{C}$, Kühlkörper K 0,36 S.
Limiting on-state current I_{TINT} during intermittent operation at natural two-sided cooling, $t_A = 45^\circ\text{C}$, heatsink type K 0.36 S.
Parameter: Spieldauer/cycle duration SD
Vorlaststrom/pre-load current $I_{TAV(\text{vor})}$



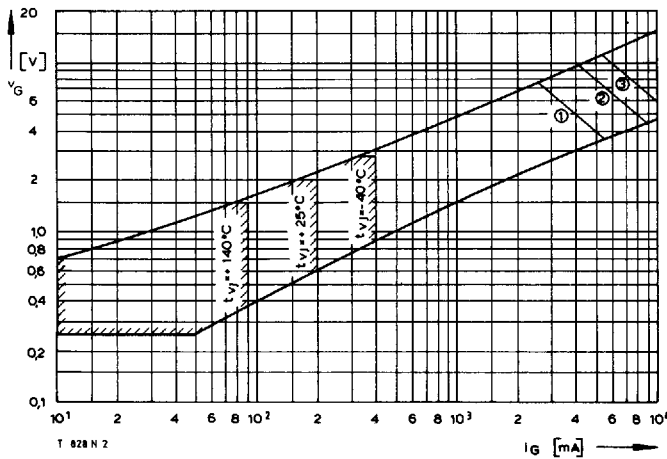
Bild/Fig. 18
Höchstzulässiger Durchlaßstrom I_{TINT} bei Aussetzbetrieb und verstärkter beidseitiger Luftkühlung, $t_A = 35^\circ\text{C}$, Kühlkörper K 0,12 F, $V_L = 50 \text{ l/s}$.
Limiting on-state current I_{TINT} during intermittent operation at forced two-sided cooling, $t_A = 35^\circ\text{C}$, heatsink type K 0.12 F, $V_L = 50 \text{ l/s}$.
Parameter: Spieldauer/cycle duration SD
Vorlaststrom/pre-load current $I_{TAV(\text{vor})}$



Bild/Fig. 19
 Überstrom $I_{T(OV)}$ bei beidseitiger Luftselbstkühlung, $t_A = 45^\circ\text{C}$,
 Kühlkörper K 0,36 S.
 Overload on-state current $I_{T(OV)}$ at natural two-sided cooling, $t_A = 45^\circ\text{C}$,
 heatsink type K 0.36 S.
 Parameter: Vorlaststrom/pre-load current $I_{TAV(vor)}$

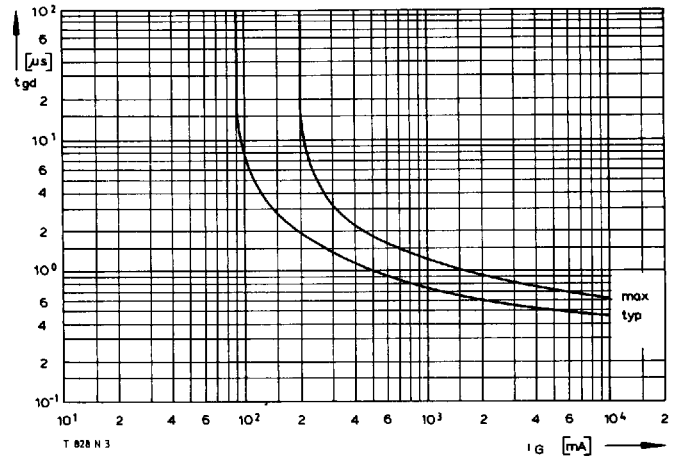


Bild/Fig. 20
 Überstrom $I_{T(OV)}$ bei verstärkter beidseitiger Luftkühlung, $t_A = 35^\circ\text{C}$,
 Kühlkörper K 0,12 F, $V_L = 50 \text{ l/s}$.
 Overload on-state current $I_{T(OV)}$ at forced two-sided cooling, $t_A = 35^\circ\text{C}$,
 heatsink type K 0.12 F, $V_L = 50 \text{ l/s}$.
 Parameter: Vorlaststrom/pre-load current $I_{TAV(vor)}$

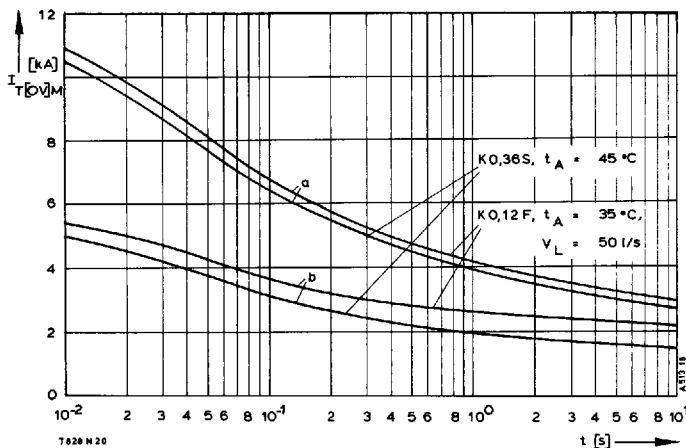


Bild/Fig. 21
 Zündbereich und Spitzensteuerleistung bei $v_D \geq 6 \text{ V}$.
 Gate characteristic and peak gate power dissipation at $v_D \geq 6 \text{ V}$.
 Parameter:

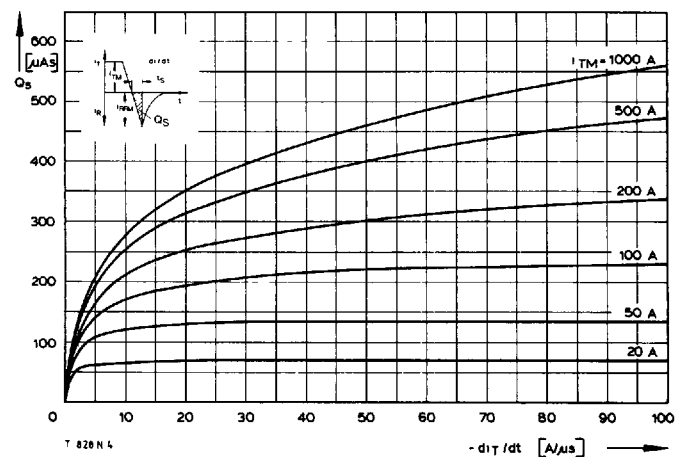
	1	2	3
Steuerimpulsdauer/Pulse duration t_g [ms]	10	1	0,5
Höchstzulässige Spitzensteuerleistung/ Maximum allowable peak gate power [W]	20	40	60



Bild/Fig. 22
 Zündverzögerung t_{gd}
 Gate controlled delay time t_{gd}



Bild/Fig. 23
 Grenzstrom $I_{T(OV)M}$ bei Luftselbstkühlung und verstärkter Luftkühlung.
 Limiting overload on-state current $I_{T(OV)M}$ at natural and forced cooling.
 a – Belastung aus Leerlauf/current surge under no-load conditions
 b – Belastung im Anschluß an Betrieb mit Dauergrenzstrom I_{TAVM} /
 current surge occurs during operation at limiting average on-state current
 rating I_{TAVM}



Bild/Fig. 24
 Nachladung Q_S in Abhängigkeit von der abkommütierenden Stromsteilheit
 $-di_T/dt$ bei $t_{vj \text{ max}}$.
 Lag charge Q_S versus the rate of decay of the forward on-state current
 $-di_T/dt$ at $t_{vj \text{ max}}$.